

Universidade Federal de Campina Grande

Departamento de Engenharia Elétrica

Notas de Aula: Princípios de Comunicações

Bruno Barbosa Albert e Edmar Candeia Gurjão  
albert@dee.ufcg.edu.br e ecandeia@dee.ufcg.edu.br

Abril de 2008



# Capítulo 1

## Modulação Digital

Vamos considerar esquemas de modulação cujo sinal mensagem é digital, denominadas a partir desse ponto de modulação digital. Nesse esquemas, a informação gerada pelo transmissor será amostrado na frequência de Nyquist, quantizada e seguida convertida para sua representação binária, portanto a partir desse capítulo será considerado que o modulador recebe a sequência de bits a ser transmitida e realiza a modulação de uma portadora com esses bits.

Qualquer sinal modulado pode ser escrito no formato fase e quadratura da seguinte forma

$$s(t) = A_c[x_i(t) \cos(2\pi f_c t + \theta) + x_q(t) \sin(2\pi f_c t + \theta)]$$

sendo  $A_c$ ,  $f_c$  e  $\theta$  constantes,  $x_i(t)$  e  $x_q(t)$  componentes que contêm a mensagem. Considerando  $x_i(t)$  e  $x_q(t)$  estatisticamente independentes e ao menos um deles com média zero tem-se

$$S(f) = \frac{A_c^2}{4}[X_i(f - f_c) + X_i(f + f_c) + X_q(f - f_c) + X_q(f + f_c)].$$

Para uma representação mais compacta, vamos definir uma representação passa baixa como

$$X_{pb} = X_i(f) + X_q(f)$$

e então

$$S(f) = \frac{A^2}{4}[X_{pb}(f - f_c) + X_{pb}(f + f_c)]$$

Entretanto,  $x_i(t) = \sum_k a_k p(t - kD)$  sendo  $a_k$  a sequência de dígitos da fonte gerada com taxa  $r = 1/D$  e daí tem-se que

$$X_i(f) = \sigma_a^2 r |P(f)|^2 + (m_a r)^2 \sum_{n=-\infty}^{\infty} |P(nr)|^2 \delta(f - nr)$$

sendo  $m_a$  e  $\sigma_a^2$  a média e a variância de  $a_k$ . A mesma expressão vale para  $X_q(f)$ .

Considerando  $p(t)$  como um pulso retangular tem-se que

$$|P(f)|^2 = D^2 \text{sinc}^2 fD = \frac{1}{r^2} \text{sinc}^2 \frac{f}{r}$$

## 1.1 Modulações em Amplitude

Considerando inicialmente a modulação em amplitude, se fizermos o bit zero como a ausência de sinal e o bit 1 como o pulso  $p(t)$  temos a modulação OOK (*On-Off Keying*), também conhecida como ASK - *Amplitude Shift Keying*, e a componente  $x_q(t)$  pode ser feita igual a zero pois não haverá inversão de fase. Assim

$$x_i(t) = \sum_k a_k p(t - kD), \quad a_k = 0, 1, \dots, M - 1$$

para um sinal  $M$ -ário que tem média e variância dados por

$$m_a = \frac{M - 1}{2} \text{ e } \sigma_a^2 = \frac{M^2 - 1}{12}$$

e assim

$$\begin{aligned} S(f) = & \frac{A_c^2}{4} \left[ \frac{(M^2 - 1)}{12r} \text{sinc}^2 \frac{(f - f_c)}{r} + \frac{(M - 1)^2}{4} \delta(f - f_c) \right. \\ & \left. + \frac{(M^2 - 1)}{12r} \text{sinc}^2 \frac{(f + f_c)}{r} + \frac{(M - 1)^2}{4} \delta(f + f_c) \right] \end{aligned} \quad (1.1)$$

**Exemplo 1** Fazendo  $M = 2$  (binário),  $A_c = 4$ ,  $f_c = 5$  temos na Figura 1.1 a representação do sinal OOK no tempo para a sequência  $\{1, 0, 1, 0, 1, 0, 1, 0, 1, 0\}$  e

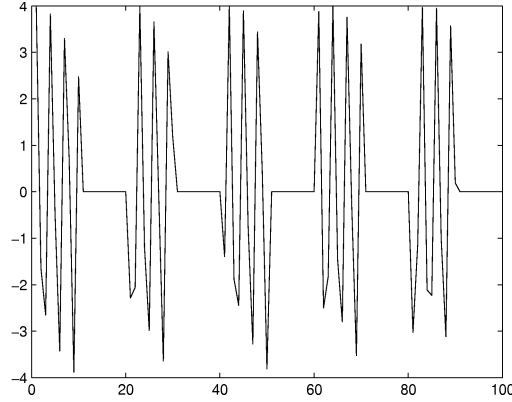


Figura 1.1: Sinal OOK.

$$S(f) = \left[ \frac{1}{r} \text{sinc}^2 \frac{(f - 5)}{r} + \delta(f - 5) + \frac{1}{r} \text{sinc}^2 \frac{(f + 5)}{r} + \delta(f + 5) \right] \quad (1.2)$$

e na Figura 1.3 a parte positiva do espectro do sinal OOK para  $r = 1$  e  $r = 5$ . Observe que o impulso não foi representado nessa figura, mas que a largura de banda do sinal aumenta a

medida que  $r$  aumenta (ou  $D$  diminui), o que é esperado pois nesse caso a taxa de transmissão aumenta.

Além disso, observe que a maior parte da energia está concentrada a uma distância de  $r$  Hz da frequência da portadora.

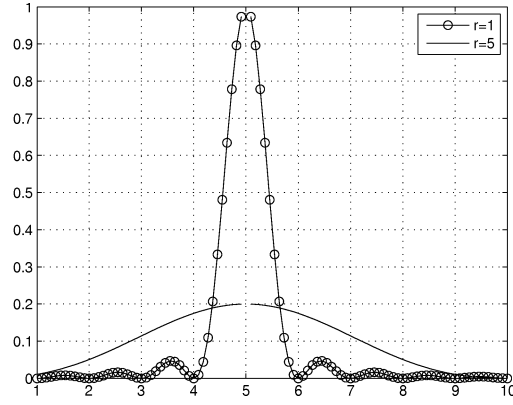


Figura 1.2: Parte positiva do espectro de um sinal OOK para  $r = 1$  e  $r = 5$  sem mostrar o impulso em  $f_c$ .

## 1.2 Modulação em fase

Um sinal modulado em fase por uma informação digital será chamado de PSK - *Phase Shift Keying*. Um sinal PSK  $M$ -ário tem deslocamento de fase  $\phi_k$  no intervalo de tempo  $kD < t < (k+1)D$  e pode ser expresso por

$$s(t) = A_c \sum_k \cos(\omega_c t + \theta + \phi_k) p(t - kD)$$

e as componentes em quadratura e fase podem ser expressas por

$$x_i(t) = \sum_k I_k p(t - kD) \quad e \quad x_q(t) = \sum_k Q_k p(t - kD)$$

sendo

$$I_k = \cos \phi_k \quad e \quad Q_k = \sin \phi_k$$

e a relação entre  $a_k$  e  $\phi_k$  é dada por

$$\phi_k = \frac{\pi(2a_k + N)}{M}, \quad a_k = 0, 1, \dots, M-1$$

sendo  $N$  um valor inteiro, usualmente 0 ou 1.

Pode-se mostrar que

$$\overline{I_k} = \overline{Q_k} = 0, \quad \overline{I_k^2} = \overline{Q_k^2} = 1/2 \text{ e } \overline{I_k Q_j} = 0$$

Como as componentes em fase e quadratura são estatisticamente independentes tem-se

$$S_{pb}(f) = 2 \frac{r}{2} |P(f)|^2 = \frac{1}{r} \text{sinc}^2 \frac{f}{r}$$

e

$$S(f) = \frac{A^2}{4} \left[ \frac{1}{r} \text{sinc}^2 \frac{(f - f_c)}{r} + \frac{1}{r} \text{sinc}^2 \frac{(f + f_c)}{r} \right].$$

Observe na expressão acima que não existe o impulso, logo PSK é mais eficiente do que ASK.

**Exemplo 2** Vamos repetir o exemplo anterior para PSK fazendo  $M = 2$  (binário),  $A_c = 4$ ,  $f_c = 5$  e  $N = 1$ , daí temos

$$S(f) = \frac{1}{r} \left[ \text{sinc}^2 \frac{(f - 5)}{r} + \text{sinc}^2 \frac{(f + 5)}{r} \right] \quad (1.3)$$

e na Figura 1.3 a parte positiva do espectro do sinal PSK para  $r = 1$  e  $r = 5$ . Observe que o espectro obtido é similar ao da ASK porém sem o impulso, o que indica que PSK é mais eficiente do que ASK.

Além disso, observe que a maior parte da energia está concentrada a uma distância de  $r$  Hz da frequência da portadora.

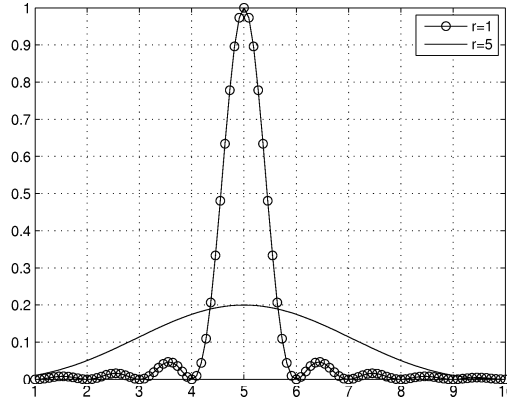


Figura 1.3: Parte positiva do espectro de um sinal BPSK para  $r = 1$  e  $r = 5$ .

### 1.3 Modulação em Frequência

Aqui teremos a modulação conhecida como FSK - *Frequency Shift Keying* que terá frequência

$$f_k = f_c + f_d a_k, \quad a_k = \pm 1, \pm 3, \dots, \pm(M-1)$$

onde assume-se que  $M$  é par. Assim,

$$s(t) = A_c \sum_k \cos(\omega_c t + \theta + \omega_d a_k t) p(t - kD)$$

Vamos fazer  $M = 2$ ,  $D = T_b = 1/r_b$ ,  $N = 1$  e  $f_d = r_b/2$ . Sendo  $p(t) = u(t) = u(t - kT_b)$  tem-se

$$f_d = r_b/2.$$

Fazendo  $a_k = \pm 1$  teremos

$$\cos \omega_d a_k t = \cos \omega_d t \quad \sin \omega_d a_k t = a_k \sin \omega_d t$$

a componente em fase se reduz a

$$x_i(t) = \cos \pi r_b t$$

a componente em quadratura será dada por

$$\begin{aligned} x_q(t) &= \sum a_k \sin(\pi r_b t) p(t - kD) \\ &= \sum a_k \sin(\pi r_b t) [u(t - kT_b) - u(t - kT_b - T_b)] \end{aligned} \quad (1.4)$$

fazendo

$$Q_k = (-1)^k a_k$$

e

$$p_1(t) = \sin(\pi r_b t) [u(t) - u(t - T_b)]$$

tem-se

$$x_q(t) = \sum_k Q_k p(t - kT_b).$$

A componente em fase só contribui com impulsos em  $r_b/2$  e daí

$$\begin{aligned} S(f) &= \frac{A_c^2}{4} \left[ \frac{1}{4} \left[ \delta(f - f_c - \frac{r_b}{2}) + \delta(f - f_c + \frac{r_b}{2}) \right] - r_b |P(f - f_c)|^2 \right. \\ &\quad \left. + \frac{1}{4} \left[ \delta(f + f_c - \frac{r_b}{2}) + \delta(f + f_c + \frac{r_b}{2}) \right] - r_b |P(f + f_c)|^2 \right] \end{aligned} \quad (1.5)$$

e

$$|P(f)|^2 = \frac{1}{4 * r_b^2} \left[ \text{sinc} \frac{f - r_b/2}{r_b} + \text{sinc} \frac{f + r_b/2}{r_b} \right]^2$$

**Exemplo 3** Retepreindo os exemplo anteriores, fazendo  $M = 2$  (binário),  $A_c = 4$ ,  $f_c = 5$  e  $N = 1$ , temos na Figura 1.4 a parte positiva do espectro do sinal PSK para  $r = 1$  e  $r = 5$ .

Na Figura 1.5 tem o espectro do PSK e do FSK. Observe que FSK apesar de ter dois impulsos tem bandas laterais mais baixas.

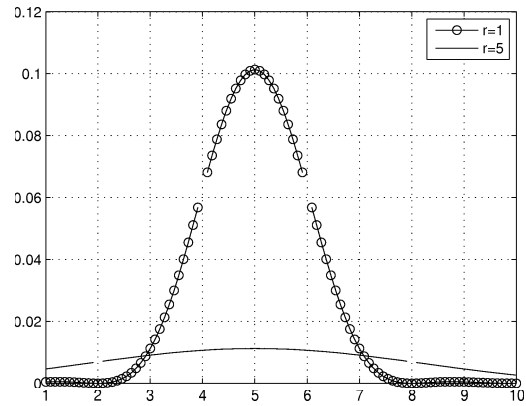


Figura 1.4: Parte positiva do espectro de um sinal FSK para  $r = 1$  e  $r = 5$  sem mostrar os impulsos.

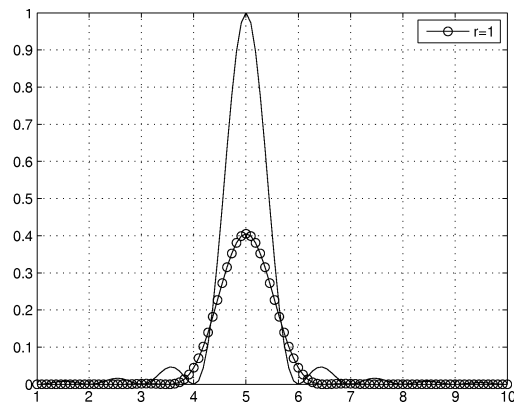


Figura 1.5: Parte positiva do espectro dos sinais PSK e FSK para  $r = 1$  sem mostrar os impulsos.